

薄肉偏平殻の非線形自由振動の解析

長崎大学工学部	学生会員	○田中 利志
長崎大学工学部	フロー会員	高橋 和雄
長崎大学工学部	正会員	中村 聖三
長崎大学工学部	学生会員	三堂 聰

1. まえがき

ケーブル、偏平アーチ、ライズをもつ構造物には、構造形状に起因する2次の非線形項が存在するために、各種の分岐現象が存在する。著者らは、板厚程度のライズをもつ薄板の非線形振動を解析¹⁾したが、さらに本研究はさらに曲率が大きい領域まで取り扱い可能の薄肉殻構造²⁾を対象に非線形振動解析を行い、1自由度系としての非線形振動特性を各種の偏平殻の形状パラメーターの影響を明らかにする。本研究では、周辺単純支持の長方形薄肉殻を面内境界条件が自由と固定の条件のもとに解析する。

2. 運動方程式及び境界条件

図-1に示す薄肉偏平殻の形状は次のように表わされる。

$$z = \frac{1}{2} \left\{ \frac{x(x-a)}{R_x} + \frac{y(y-b)}{R_y} \right\} \quad (0 \leq x \leq a, \quad 0 \leq y \leq b) \quad (1)$$

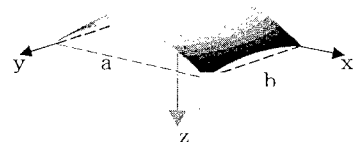


図-1 薄肉偏平殻の一般形状及び座標系

ここに、 R_x , R_y : x 及び y 方向の曲率半径

薄肉偏平殻の振動によって起こるたわみを w とすると、殻の運動方程式と適合条件式は、以下の式(2), (3)で表される。

$$D \nabla^4 w - \frac{\partial^2 F}{\partial y^2} \frac{\partial^2 w}{\partial x^2} + 2 \frac{\partial^2 F}{\partial x \partial y} \frac{\partial^2 w}{\partial x \partial y} - \frac{\partial^2 F}{\partial x^2} \frac{\partial^2 w}{\partial y^2} - \frac{1}{R_x} \frac{\partial^2 F}{\partial y^2} - \frac{1}{R_y} \frac{\partial^2 F}{\partial x^2} + \rho d \frac{\partial^2 w}{\partial t^2} - p_0 \cos \Omega t = 0 \quad (2)$$

$$\frac{1}{Ed} \nabla^4 F - \left(\frac{\partial^2 w}{\partial x \partial y} \right)^2 + \frac{\partial^2 w}{\partial x^2} \frac{\partial^2 w}{\partial y^2} + \frac{1}{R_x} \frac{\partial^2 w}{\partial y^2} + \frac{1}{R_y} \frac{\partial^2 w}{\partial x^2} = 0 \quad (3)$$

t : 時間, d : 板厚, ρ : 板の密度, p : 荷重強度、 Ω : 加振円振動数

$$D = \frac{Ed^3}{12(1-\nu^2)}, \quad \nabla^4 = \frac{\partial^4}{\partial x^4} + 2 \frac{\partial^4}{\partial x^2 \partial y^2} + \frac{\partial^4}{\partial y^4},$$

E : ヤング率, ν : ポアソン比, F : Airy の応力関数

殻の境界条件は、曲げに対して4辺単純支持とし、面内変位 u , v は固定 case(a) と自由 case(b) とする。

3. 解法

式(1)の解を境界条件を考慮し、1自由度系で次のように式(4)で仮定する。

$$w = T(t) \sin \frac{\pi}{a} x \sin \frac{\pi}{b} y \quad (4)$$

$T(t)$: 未知の時間関数

応力関数 F は、式(3)に式(4)を用いて、面内方向の境界条件を考慮して得られる。式(3)の一般解は式(5)で表される。

$$F = F_p + F_c \quad (5)$$

F_p : 特解、 F_c : 余解

式(3)の余解を以下の式(6)に仮定すれば、 $\nabla^4 F_c = 0$ は満足される。

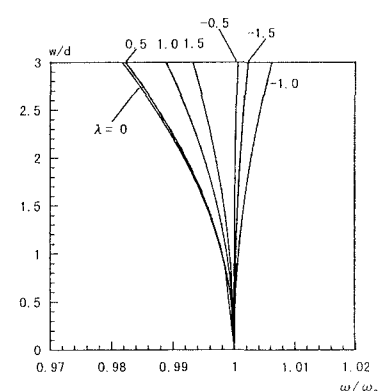


図-2 非線形自由振動

(case(a), $k=0.001$, $c=0.4$)

$$F_c = A(t)x^2 + B(t)y^2 \quad (6)$$

ここに、 $A(t), B(t)$ ：面内変位の境界条件を満足するよう
に決定される時間 t の関数。

運動方程式(2)に式(4), (5)を代入して, Galerkin法を
適用すると, 運動方程式(1)は次のような時間に関する運動
方程式に変換される。

$$\ddot{T} + \omega_0^2 T + C_2 T^2 + C_3 T^3 = \bar{p} \cos \Omega t \quad (7)$$

ここに, ω_0^2, C_2, C_3 : 係数, $\bar{p} = 16 p_0 R_x / Ed\pi^2$: 荷重
強度

上式の解を次のように仮定する。

$$T = \frac{c_0}{2} + c_{1/2} \cos \frac{\Omega}{2} t + s_{1/2} \sin \frac{\Omega}{2} t + c_1 \cos \Omega t + s_1 \sin \Omega t \quad (8)$$

ここに, c_0, c_1, s_1 : 付随型の振幅成分, $c_{1/2}, s_{1/2}$: 分岐型
の振幅成分

式(8)を式(7)に代入して, 調和バランス法を適用すれば
連立非線形代数方程式が得られる。これにNewton-Raphson
法を用いて解けば, 振幅成分が得られる。

4. 解析結果

本研究で用いる無次元パラメーターは, $\mu = a/b$ (縦横
比), $k = d/R_x$, $e = a/R_x$, $\lambda = R_x/R_y$ (曲率
半径比, $\lambda > 0$: ドーム形状, $\lambda = 0$: 円筒形状, $\lambda < 0$:
鞍形状) である。

case(a)とcase(b)の2ケースについて, $\mu = 1.0$, $v = 0.3$,
 $k = 0.001$ および $e = 0.4$ の場合に対する非線形振動自由振動
曲線を曲率半径比 λ をパラメーターに図-2, 3に示す。これら
の図において, 縦軸は, 薄肉偏平殻の中央点の無次元振幅を,
横軸は各々の構造形式の線形1次振動数で非線形自由振動数
を無次元化している。これらの図より, 薄肉偏平殻の非
線形自由振動特性は, 曲率半径比 λ の影響を受ける。 λ の
値によっては振動数が振幅の増大とともに減少する軟化バネ
特性を示す。case(b)の $\lambda = -1$ 付近の非線形自由振動特性
は, λ の大きさによって大きく特性が変化する結果となっ
ている。

図-4, 5は、形状パラメーター k と e を変化させた場合
のcase(a)の非線形自由振動特性の結果を示す。非線形自由
振動特性に軟化, 硬化ばね特性が共存することが見受けられ
る。殻構造の非線形振動特性は形状パラメーター k と e の影
響を受けることがわかる。

5.まとめ

殻構造の非線形振動特性を示したが, パラメーターの影響
の評価および境界条件の影響については講演時に発表する。

参考文献

- 1) Takahashi, K. and Midou, S.: Theoretical and Applied Mechanics, Vol. 48, 1999.
- 2) Kanazawa, K. and Hangai, Y.: Theoretical and Applied Mechanics, Vol. 25, 1977.

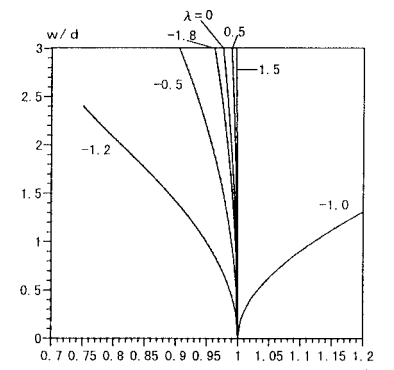


図-3 非線形自由振動

(case(b), $k=0.001$, $e=0.4$)

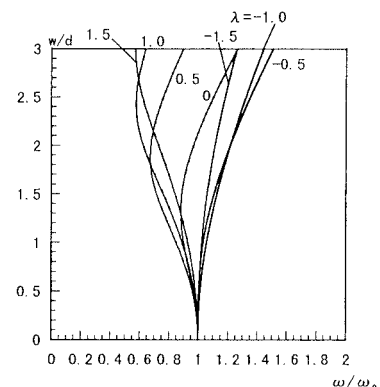


図-4 非線形自由振動

(case(a), $k=0.01$, $e=0.4$)

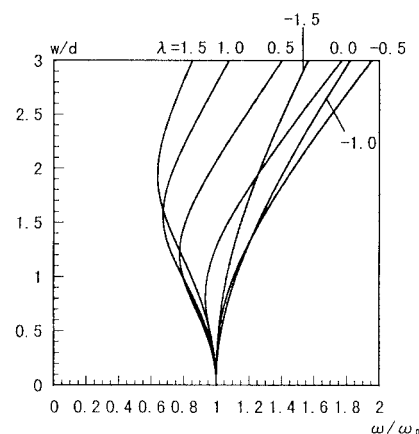


図-5 非線形自由振動

(case(a), $k=0.001$, $e=0.1$)